

茨城大学工学部 正会員 井上康介

茨城大学工学部 松本智良

都立大学工学部 安達基久

1. まえがき 近年 構造物の大型化に伴い“やや長周期領域”における地震動特性の把握が耐震工学上重要な課題となっている。この目的のために筆者の1人を含むグループは先に1968年十勝沖地震の気象庁変位強震計記録(14記録)を数値化し<sup>1)</sup>、また筆者らは昨年に1983年日本海中部地震の同じく変位強震計記録(30記録)を数値化したか<sup>2)</sup>。今回はそれらに引き続いで1933年～1968年にかけて巨大地震(M<sub>6</sub>から8クラス)の比較的近距離(震央距離△が50～500km)における気象庁各官署の変位強震計(1950～52年以前のものは大森式強震計、今村式強震計、中央気象台型強震計のいずれか、またそれ以後のものは気象庁型強震計、以後便宜上、前者を“旧式の強震計”と呼ぶ)による記録を数値化し解析したので以下に報告する。

2. 地震記録 表1、表2に今回解析した地震記録(14記録、水平23成分)を、図1に各地震の震央位置と各観測点の位置をそれぞれ示す。このうち十勝沖地震の秋田の記録は前回<sup>1)</sup>すでに数値化済みであるが、前回数値化したうちでは速度応答スペクトルおよび地動加速度のレベルが最も大きいもので、今回との比較のために再録した。また同地震の酒田と新潟は、△が大きく震度も小さい(震度3)ために前回は数値化しなかった大地点であるが、両地点は全国的にみてやや長周期領域において特にやれ易い地点であるため、今回解析の対象とした。なお今回解析した記録は、以前に気象庁各官署から入手した多数の記録の中から 大振幅で数値化が可能なものを厳選したのである。図2に記録紙の一例(白黒を反转してある)を示す。

3. 解析方法 各記録の解析手順は前回<sup>1,2)</sup>とほぼ同様である。但し旧式の強震計の場合、①強震計のアーム長が不明、②見かけの零線か何段階にか変化している記録が含まれている、といった問題があり、これらを以下のようへ解決した。まず①に關しては、図3に示すように記録上で振幅の大きい個所において等時刻線を仮想し、この線上の3点の座標を読み取ってそれからアームの中心を求め、次いでアーム長を求めた。次に②に關しては図4に示すように、各区间ごとに零線を補正し(図4(b))、次いで各区间ごとにアームの傾斜の影響を除去し円弧補正を施した(図4(c))。なお各記録の速度応答スペクトルSvは、減衰定数hが0.1% (石油タンクを想定)と2% (長大橋梁を想定)の2種類の場合について計算した。

4. 解析結果および考察 表2に各記録の最大地動振幅を示す。同表より各最大振幅の最大値は、変位、速度、加速度のそれぞれについて23.3cm, 12.1kine, 27.7galである。次に図5、図6に今回解析した中では値の大きかった2地点のSvを示す。このうち後者(酒田、△=377km、震度3)のEW成分のSvの最大値は165kineと今回のうちで最も大きい値である。ちなみに前回<sup>2)</sup>日本海中部地震を解析した際 最も値の大きかった新潟(△=276km、震度3)のNS成分のSvを図7に示す。このSvの最大値は188kineで今回の酒田よりも大きい。図6、図7は弱減衰(h=0.1%)のSvの最大値か△や震度よりその地点の“やや長周期領域におけるやれ易さ”に支配されていることを示している。次いで図8に石油タンク、長大橋梁の現行の耐震基準を、また図9(a),(b)に各記録のSvの最大値と対応する周期(卓越周期)の関係を、それぞれ示す。これらの図よりSvの最大値か基準の値と近いかそれ以上の値を示すものは、石油タンク(h=0.1%)の場合23成分中6成分、また長大橋梁(h=2%)の場合23成分中13成分で、これらの結果より図8の耐震基準の見直しか必要であると結論される。なお本研究の一部は、昭和58・59年度文部省科学研究費・総合研究(A)(代表・片山恒雄)によろ予算で行なわれた。

5. 参考文献 1)土木学会：石油タンクの耐震安全性に関する調査報告書、昭和57年12月、2)井上ほか：日本海中部地震の気象庁変位強震計による記録の解析、地震学会講演予稿集No.2、昭和59年10月

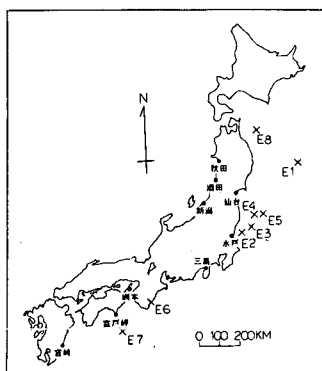


図1. 各観測点の位置と各地震の震央位置

地震名	観測点	震央距離 (km)	N S 成 分			E W 成 分		
			位 高 (cm)	速 度 (kine)	加 速 度 (gal)	位 高 (cm)	速 度 (kine)	加 速 度 (gal)
三陸沖	仙 台	332	6.5	3.4	6.3	—	—	—
いわき沖	水 戸	49	8.7	9.4	24.1	15.0	12.8	25.1
福島県東方沖	水 戸	122	14.2	7.0	8.1	17.7	9.4	10.8
		156	11.4	6.3	7.0	23.3	12.1	7.0
	仙 台	164	7.3	5.5	2.0	20.8	11.3	8.6
東南海	水 戸	184	—	—	—	5.3	5.2	10.8
		164	—	—	—	2.7	2.1	3.7
	三戸・津軽	313	6.9	4.7	2.7	7.5	3.6	6.7
南海道	本 鷲	208	—	—	—	18.9	8.9	19.7
		296	—	—	—	5.3	5.9	16.9
十勝沖	新潟	246	8.0	10.2	23.2	9.8	11.0	25.2
	酒田	501	10.4	8.0	11.2	8.9	8.2	20.8

表2. 各記録の最大地動振幅

地震番号	日 付	地 震 名	深さ (km)	M s	観測点	△ (km)	震度
E1	1933.3.3	三 陸 沖	—	8.5	仙 台	332	5
E2	1938.5.23	福島県東方沖 (1 st.)	60	7.7	水 戸	49	5
E3	1938.11.5	福島県東方沖 (1 st.)	60	7.7	水 戸	122	5
E4	1938.11.5	福島県東方沖 (2 nd.)	60	7.7	水 戸	156	5
E5	1938.11.6	福島県東方沖 (3 rd.)	60	7.6	水 戸	164	4
E6	1944.12.7	東 南 海	—	8.0	水 戸	313	4
E7	1946.12.21	南 南 海	—	8.2	水 戸	208	5
E8	1968.5.16	十 勝 沖	9	8.1	水 戸	501	3

表1. 解析に用いた地震記録

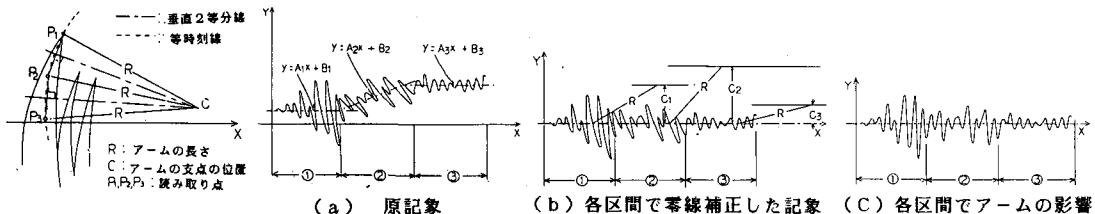


図3. アーム長の求め方

図4. 見かけの零線が3段階に変化する場合の補正方法

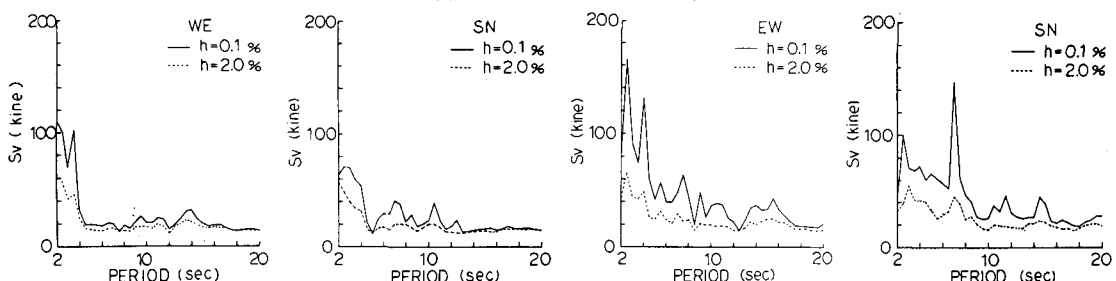


図5(a). 東南海地震の三島における SV(WE成分)

図5(b). 同左 (SN成分)

図6(a). 十勝沖地震の酒田における SV(EW成分)

図6(b). 同左 (SN成分)

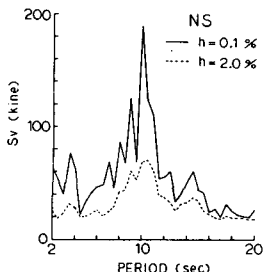


図7. 日本海中部地震の新潟における SV(NS成分)

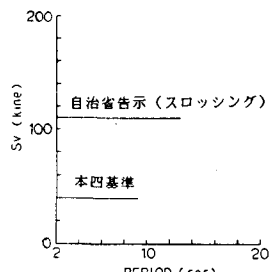


図8. 現行の耐震設計基準 図9(a). 各記録の SV の最大値と卓越周期の関係 (h=0.1%)

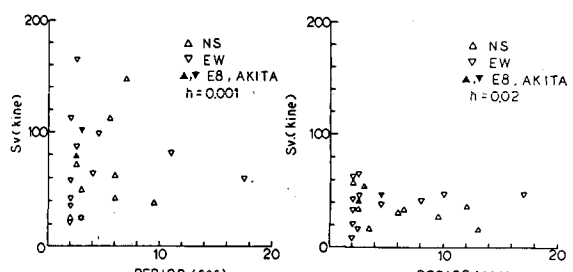


図9(b). 同左 (h=2%)